

# Отчёт по лабораторной работе №3

Семён Бевзюк

24 марта 2019 г.

## Постановка задачи №1

Исследовать сходимость методов на устойчивых и неустойчивых системах вида:

$$\dot{x} = -x \quad (1)$$

$$\dot{x} = x \quad (2)$$

Построить точное решение, численное решение методами Эйлера и Рунге-Кутты четвертого порядка, график ошибок методов по сравнению с точным решением.

## Постановка задачи №2

Для уравнения маятника построить точное решение, численное решение и график ошибки.

$$\ddot{x} + x = 0 \quad (3)$$

## Постановка задачи №3

Численно решить систему Рёсслера, построить графики зависимости  $y(x)$  и  $z(x)$ . Построить график ошибки для метода Эйлера и Рунге-Кутты.

$$\begin{cases} \dot{x} = -y - z \\ \dot{y} = x + ay \\ \dot{z} = b + (x - r)z \end{cases} \quad (4)$$

## Постановка задачи №4

Смоделировать процесс распада вещества, который описывается уравнением:

$$\dot{x} = -x \quad (5)$$

Использовать наивный алгоритм и алгорит Gillespie. Построить графики точного и численного решения. Сравнить время работы алгоритмов.

## Постановка задачи №5

Смоделировать процесс синтеза молекул водорода из атомарного водорода и процесс распада молекул водорода на атомарный водород. Система имеет вид:

$$\begin{cases} \dot{x}_1 = 2\gamma x_2 - 2ax_1^2 \\ \dot{x}_2 = ax_1^2 - \gamma x_2 \end{cases} \quad (6)$$

Где  $x_1$  — количество атомов водорода,  $x_2$  — количество молекул водорода. Реакция синтеза с коэффициентом  $ax_1^2$ :

$$\begin{cases} x_1 \rightarrow x_1 - 2 \\ x_2 \rightarrow x_2 + 1 \end{cases} \quad (7)$$

Реакция распада с коэффициентом  $\gamma x_2$ :

$$\begin{cases} x_1 \rightarrow x_1 + 2 \\ x_2 \rightarrow x_2 - 1 \end{cases} \quad (8)$$

## Решение задачи №1

Реализуем на языке Python метод Эйлера и Рунге-Кутты. Так как точное решение уравнений (1) и (2) легко находится, то будем сравнивать численное решение с ним. Тогда  $\Delta x = |x(t) - \tilde{x}(t)|$  – ошибка численного метода,  $x(t)$  – численное решение,  $\tilde{x}(t)$  – точное решение. Пусть  $x_0 = 10$  – начальное условие,  $\Delta t = 0.1$  – шаг по времени,  $t_{max} = 20$  – ограничение на время.

Посмотрим на устойчивую систему. На Рис. 1 можно увидеть, что чис-

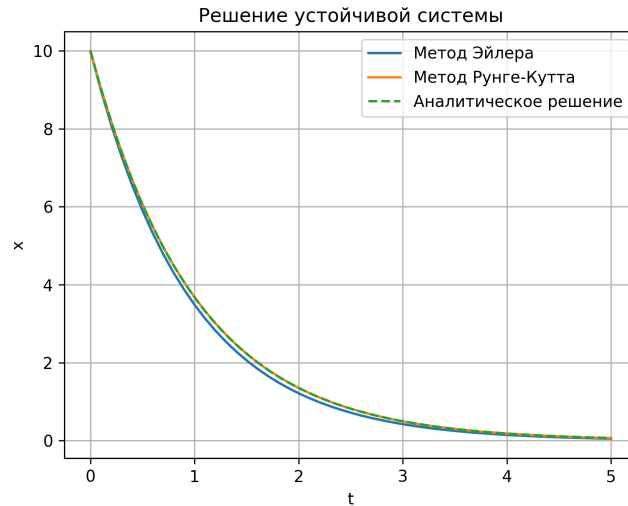


Рис. 1: Решение системы (1).

ленное решение методом Рунге-Кутты совпадает с точным решением, а решение методом Эйлера отличается, но сходится к точному. На графике ошибок (Рис. 2) это тоже заметно: метод Рунге-Кутты имеет минимальную ошибку, а метод Эйлера сначала накапливает ошибку, но наша система устойчивая, поэтому метод Эйлера в итоге сходится к точному решению.

Посмотрим на неустойчивую систему. На Рис. 3 можно увидеть, что численное решение методом Рунге-Кутты все ещё совпадает с точным решением, а решение методом Эйлера заметно отличается и уже отходит от точного. На графике ошибок (Рис. 4) видно, что метод Рунге-Кутты снова имеет минимальную ошибку, а метод Эйлера достаточно быстро накапливает ошибку и уходит от точного решения, так как система является неустойчивой. Следовательно, метод Рунге-Кутты является более точным методом.

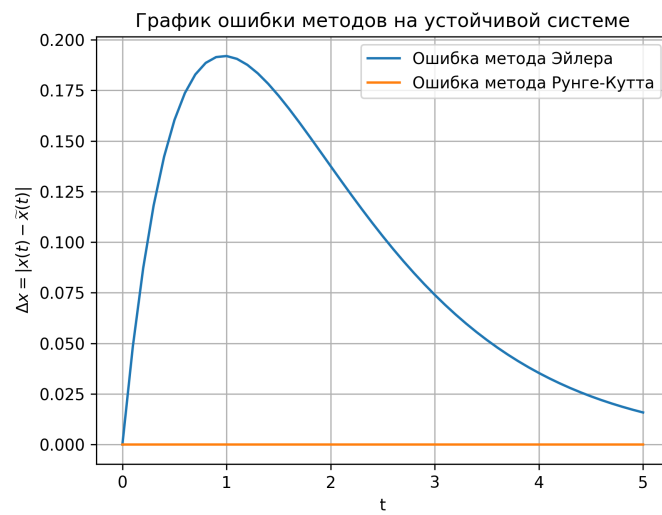


Рис. 2: Ошибка методов при решении системы (1).

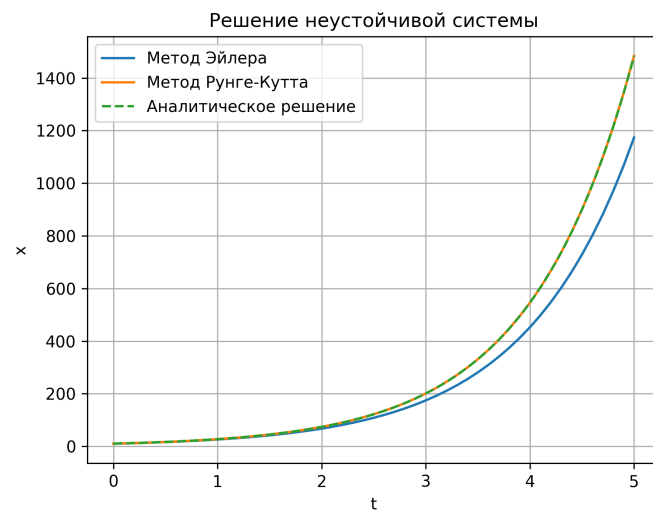


Рис. 3: Решение системы (2).

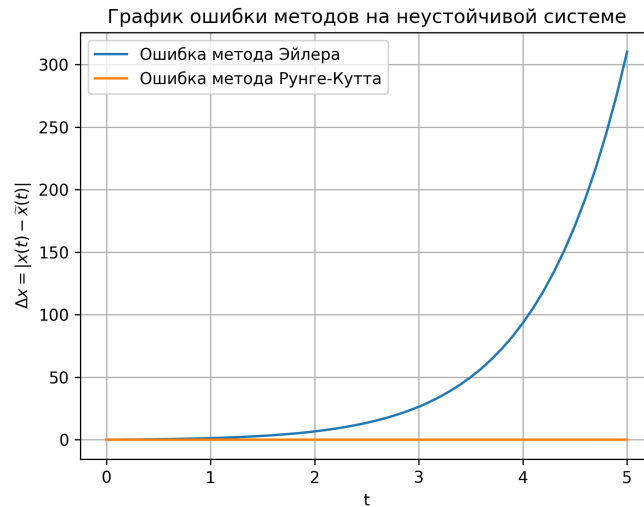


Рис. 4: Ошибка методов при решении системы (2).

## Решение задачи №2

Уравнение (3) запишем как систему:

$$\begin{cases} \dot{x}_1 = x_2 \\ \dot{x}_2 = -x_1 \end{cases} \quad (9)$$

Где  $x_1 = x$  и  $x_2 = \dot{x}$ . При  $x_1(0) = 0$  и  $x_2(0) = 1$  система имеет решение:  $x_1(t) = \sin(t)$ ,  $x_2(t) = \cos(t)$ . Решим систему численно и посмотрим на поведение решения по  $x_1 = x$ .

Возникли периодические колебания (Рис. 5). Метод Эйлера достаточно быстро начинает расходиться с точным решением (Рис. 5)(Рис. 6). Метод Рунге-Кутты решает данную систему гораздо точнее.

## Решение задачи №3

Рассмотрим систему Рёслера (4) при  $a = b = 5.7$ ,  $r = 5.7$ . При данных параметрах в системе возникает хаотический аттрактор. Пусть  $x_0 = 0$ ,  $y_0 = 0$ ,  $z_0 = 0.035$ ,  $\Delta t = 0.01$ ,  $t_{max} = 300$ . Посмотрим на численное решение разными методами (Рис. 7)(Рис. 8)(Рис. 9)(Рис. 10). Можем наблюдать хаотическое движение.

Посмотрим теперь на ошибку методов. У нас нет точного решения системы, поэтому будем сравнивать решение метода с решением метода с меньшим шагом. Получили график (Рис. 11). Ошибка растет из-за того, что метод с меньшим шагом мог перейти на другую траекторию и, в силу хаотического движения, она может сильно отойти от траектории метода с большим шагом.

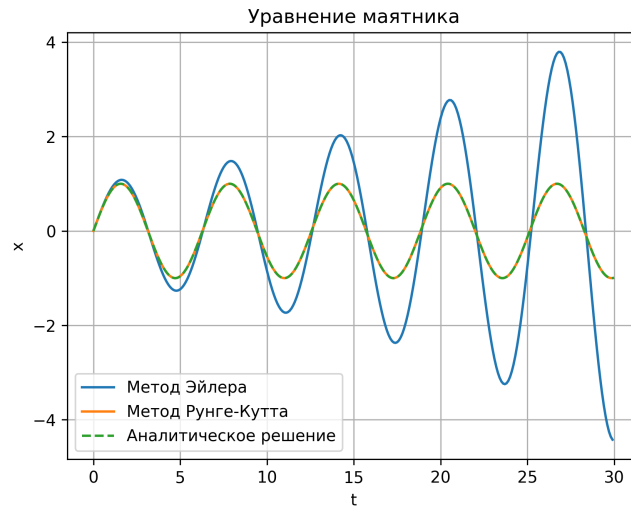


Рис. 5: Решение системы (9).

## Решение задачи №4

Смоделируем для системы (8) процесс распада вещества при  $x_0 = 100$  наивным алгоритмом, алгоритмом Gillespie и построим точное решение уравнения.

По Рис. 12 видно, что моделирование процесса распада достаточно хорошо соответствует точному решению (8). Стоит отметить, что алгоритм Gillespie работает быстрее наивного алгоритма:  $t_{Gillespie} = 0.000358$ ,  $t_{naive} = 0.003641$ .

## Решение задачи №5

Смоделируем для системы (6) процесс распада и синтеза водорода при  $a = \gamma = 1$ ,  $x_1(0) = 100$ ,  $x_2(0) = 0$ . Систему (6) решим методом Рунге-Кутты при аналогичных начальных условиях. На Рис. 13 и Рис. 14 видим, что моделирование близко к численному решению системы (6).

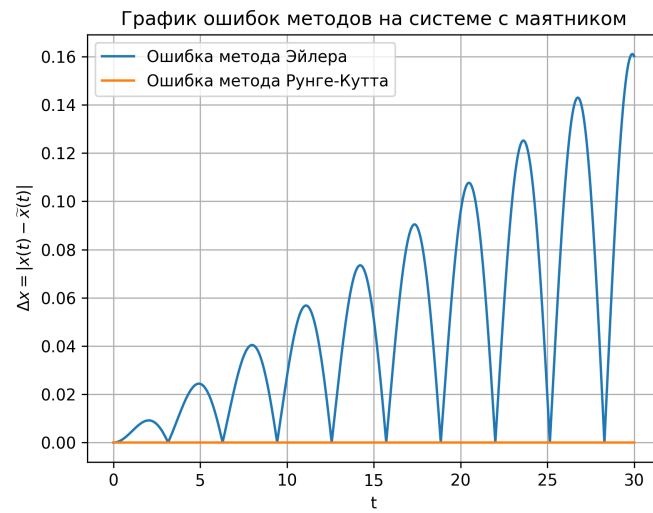


Рис. 6: Ошибка методов при решении системы (9).

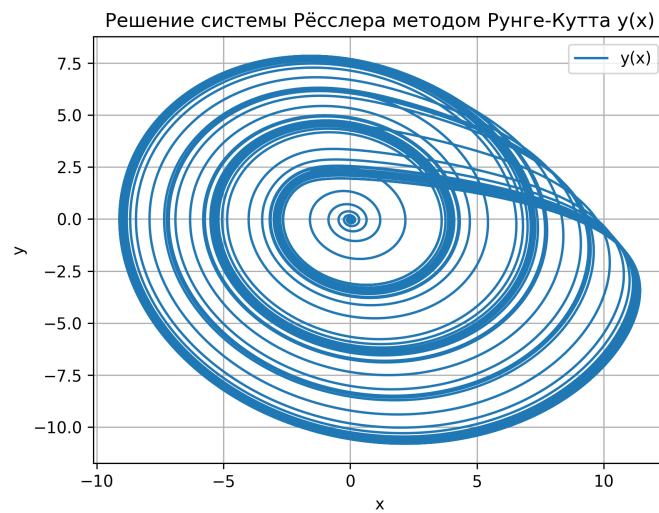


Рис. 7: Решение системы (4)  $y(x)$  методом Рунге-Кутты.

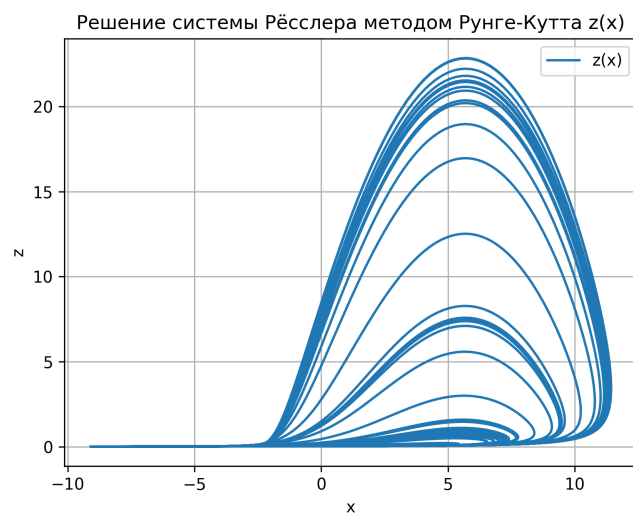


Рис. 8: Решение системы (4)  $z(x)$  методом Рунге-Кутты.

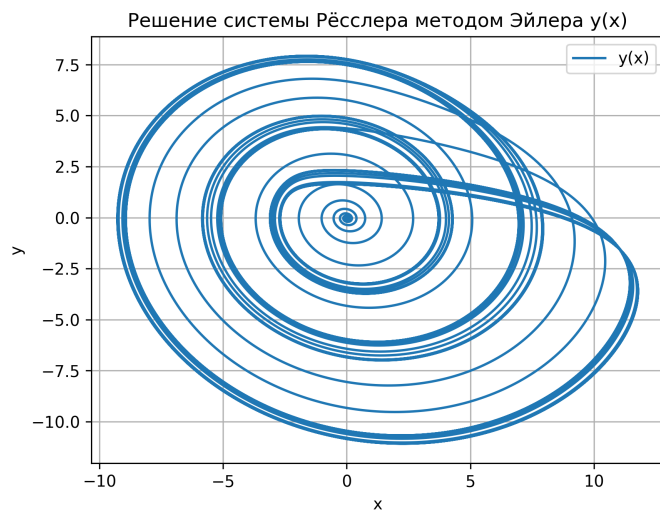


Рис. 9: Решение системы (4)  $y(x)$  методом Эйлера.



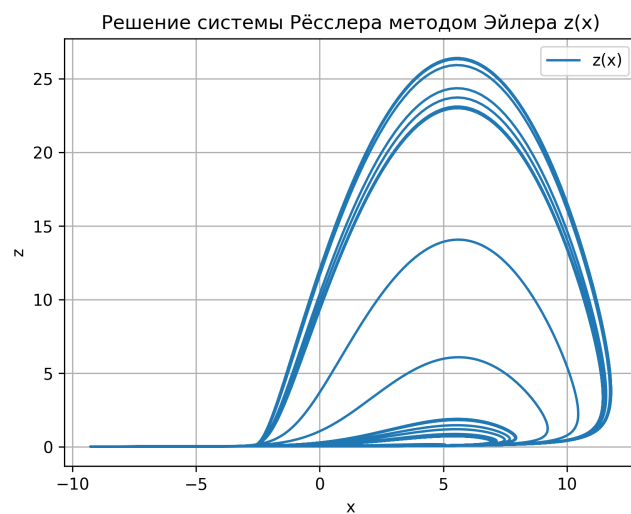


Рис. 10: Решение системы (4)  $z(x)$  методом Эйлера.

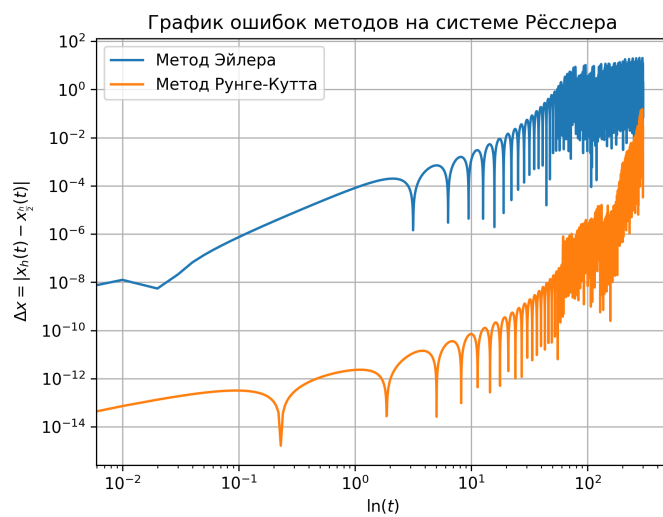


Рис. 11: Ошибка методов при решении системы (4).

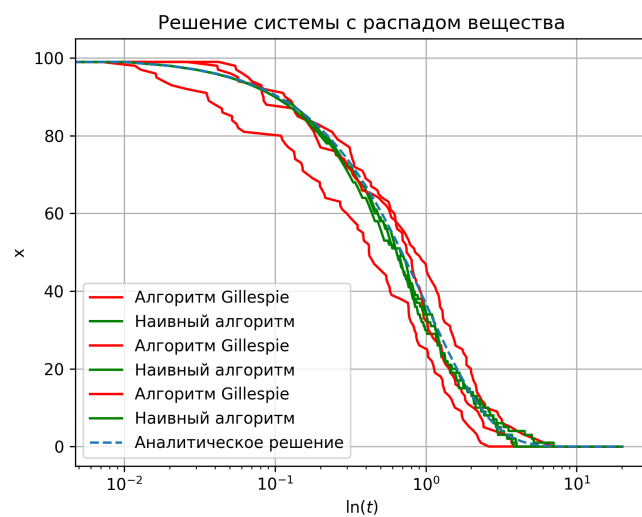


Рис. 12: Реализации процесса распада (8).

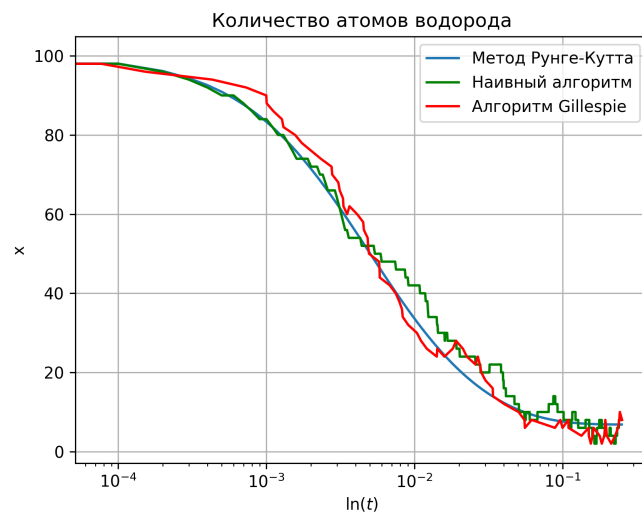


Рис. 13: Количество атомов водорода.

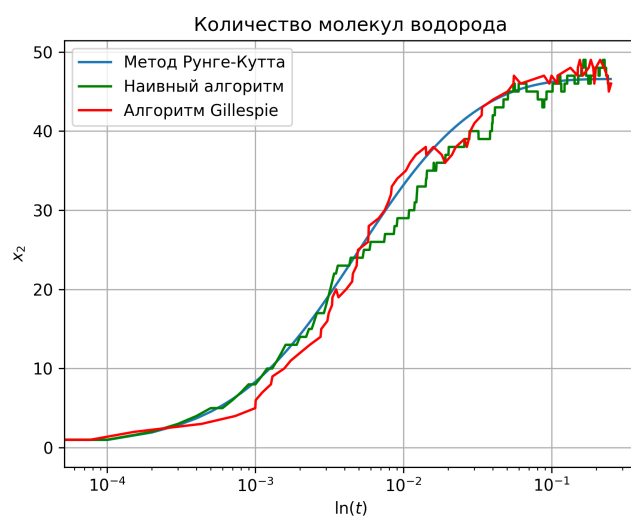


Рис. 14: Количество молекул водорода.